

论著

中国林蛙 (*Rana chensinensis*) 蛙皮抗菌肽的制备及抗菌作用研究

刘红玉 崔洪斌

(哈尔滨医科大学公共卫生学院, 黑龙江 哈尔滨 150086)

摘要:目的 从中国林蛙的皮肤中,提取纯化具有抗菌活性的多肽物质,并对其进行抑菌活性的研究。方法 用甲醇进行粗提取。对提取的甲醇浓度、甲醇用量、浸提时间和浸提次数,采用 $L_9(3^4)$ 正交实验,以蛋白含量作为指标,确定最佳提取条件。得到的粗提物经 Sephadex G-75、Sephadex G-50 和 Sephadex G-25 凝胶过滤进一步分离纯化获得抗菌肽。对抗菌肽进行氨基酸组成分析,采用杯碟法进行抑菌活性研究。结果 提取林蛙抗菌肽的最佳工艺条件:甲醇浓度 80%、甲醇体积为蛙皮重量的 6 倍、提取时间 24 h、提取次数 3 次。提取的粗提物经凝胶过滤后得到抗菌肽。抗菌肽的氨基酸组成中,碱性氨基酸占 22.1%,酸性氨基酸占 13.9%。抗菌肽对细菌的最低抑菌浓度分别为:枯草杆菌 73.25 $\mu\text{g/ml}$,金黄色葡萄球菌 51.75 $\mu\text{g/ml}$,大肠杆菌 51.75 $\mu\text{g/ml}$,铜绿假单胞菌 51.75 $\mu\text{g/ml}$ 。结论 经甲醇提取和凝胶过滤可从中国林蛙皮肤得到抗菌肽,该抗菌肽为碱性多肽,对革兰阳性细菌、革兰阴性细菌均有抑制作用。

关键词:蛙;林;皮肤;肽类;抗菌肽;食品防腐剂

- [4] SHESLOW D, HASSINK S, WALLACE W, et al. The relationship between self-esteem and depression in obese children[J]. *Ann N Y Acad Sci*, 1993, 699: 289-291.
- [5] ERERMIS S, CETIN N, TAMAR M, et al. Is obesity a risk factor for psychopathology among adolescents? [J]. *Pediatr Int*, 2004, 46(3): 296-301.
- [6] LI Y, HU X, MA W, et al. Body image perceptions among Chinese children and adolescents[J]. *Body Image*, 2005, 2: 91-103.
- [7] KOVACS M. The Children's Depression Inventory (CDI) Manual[M]. North Tonawanda, NY: Multi Health Systems Inc; 1992.
- [8] SCHEIDT P, OVERPEEK M D, WYATT W, et al. Adolescents general health and wellbeing. Health and health behavior among young people (WHO policy series: Health policy for children and adolescents, issue 1, 24-38) [R]. Copenhagen: WHO, 2000.
- [9] DANIELS J. Weight and weight concerns: are they associated with reported depressive symptoms in adolescents? [J]. *J Pediatr Health Care*, 2005, 19(1): 33-41.
- [10] ROBERTS R E, CHEN Y W. Depressive symptoms and suicidal ideation among Mexican origin and Anglo adolescents[J]. *J Am Acad Child Adolesc Psychiatry*, 1995, 34(1): 81-90.
- [11] ALMQVIST F, KUMPULAINEN K, IKAHEIMO K, et al. Behavioural and emotional symptoms in 8-9-year-old children[J]. *Eur Child Adolesc Psychiatry*, 1999, 8 (Suppl 4): 7-16.
- [12] CANALS J, MARTI-HENNEBERG C, FERNANDEZ-BALLART J, et al. A longitudinal study of depression in an urban Spanish pubertal population[J]. *Eur Child Adolesc Psychiatry*, 1995, 4(2): 102-111.
- [13] CHARMAN T, PERVOVA I. Self-reported depressed mood in Russian and U. K. schoolchildren. A research note [J]. *J Child Psychol Psychiatry*, 1996, 37(7): 879-883.
- [14] DAVANZO P, KERWIN L, NIKORE V, et al. Spanish translation and reliability testing of the Child Depression Inventory [J]. *Child Psychiatry Hum Dev*, 2004, 35(1): 75-92.
- [15] FRIGERIO A, PESENTI S, MOLTENI M, et al. Depressive symptoms as measured by the CDI in a population of northern Italian children[J]. *Eur Psychiatry*, 2001, 16(1): 33-37.
- [16] NOLEN-HOEKSEMA S, GIRGUS J S, SELIGMAN M E. Predictors and consequences of childhood depressive symptoms: a 5-year longitudinal study[J]. *J Abnorm Psychol*, 1992, 101(3): 405-422.
- [17] TWENGE J M, NOLEN-HOEKSEMA S. Age, gender, race, socioeconomic status, and birth cohort differences on the children's depression inventory: a meta-analysis[J]. *J Abnorm Psychol*, 2002, 111(4): 578-588.
- [18] BRAET C, TANGHE A, BODE P D, et al. Inpatient treatment of obese children: a multicomponent programme without stringent calorie restriction[J]. *Eur J Pediatr*, 2003, 162(6): 391-396.
- [19] SACHER P M, CHADWICK P, WELLS J C, et al. Assessing the acceptability and feasibility of the MEND Programme in a small group of obese 7-11-year-old children[J]. *J Hum Nutr Diet*, 2005, 18(1): 3-5.
- [20] WALKER L L, GATELY P J, BEWICK B M, et al. Children's weight-loss camps: psychological benefit or jeopardy? [J]. *Int J Obes Relat Metab Disord*, 2003, 27(6): 748-754.

[收稿日期:2007-01-29]

中图分类号:R15;R749.94 文献标识码:A 文章编号:1004-8456(2007)03-0214-04

基金项目:黑龙江省教育厅科学技术研究项目(11511142)

作者简介:刘红玉 女 硕士生

通讯作者:崔洪斌 男 教授

Preparation of Antibiotic Peptide from Skin of *Rana Chensinensis* and Study of Its Antibacterial Activity

LIU Hong-yu, CUI Hong-bin

(Harbin Medical University, Heilongjiang Harbin 150086, China)

Abstract: Objective To isolate the antimicrobial peptide (AMP) from the skin of *Rana Chensinensis* and study the antibacterial activity of the AMP. **Method** A crude extract was obtained first by methylalcohol extraction. The extraction conditions concentration and volume of methylalcohol, extraction time and extraction frequency were optimized by using the $L_9(3^4)$ orthogonal design. The protein concentration was used as the index. The crude extract was eluted on Sephadex G-75, Sephadex G-50 and Sephadex G-25 chromatographic columns. The amino acid composition of the AMP was analyzed and the antibacterial activity of the AMP was studied by cup method. **Results** For extracting AMP, the optimum concentration of methyl alcohol was 80%, the optimum volume was 6 times the skin weight of *Rana Chensinensis*, the extraction time was 24 h and the extraction frequency was 3 times. AMP was obtained by sephadex gel filtration. Basic amino acid was 22.1% and acidic amino acid was 13.9% in the composition of the AMP. The minimal inhibitory concentration (MIC) of AMP on *Bacillus subtilis* ATCC 6633 was 73.25 $\mu\text{g/ml}$, on *Staphylococcus aureus* ATCC 6538 was 51.75 $\mu\text{g/ml}$, on *Pseudomonas aeruginosa* ATCC 15442 was 51.75 $\mu\text{g/ml}$, and on *Escherichia coli* ATCC 259221 was 51.75 $\mu\text{g/ml}$. **Conclusion** The AMP can be obtained by extraction with methyl alcohol and sephadex gel filtration from the skin of *Rana Chensinensis*. It is a basic polypeptide, having antimicrobial activity against both G^+ and G^- bacteria.

Key word: *Rana temporaria*; Skin; Peptides; Antimicrobial Pdyptide; Food Preservatives

近年来,随着人们对食品安全的日益关注,对生物防腐剂的开发已引起人们的重视。作为生物防腐剂之一的抗菌肽更是因其所具有的独特性质,而成为了研究的热点。抗菌肽(antimicrobial peptide, AMP)是指广泛存在于生物体内,具有抵御外界微生物侵害,消除体内突变细胞的一类小分子多肽。在动物的免疫细胞、空腔脏器粘膜、皮肤及植物中都广泛存在^[1]。抗菌肽具有广谱杀菌作用。

两栖类动物生活在温暖湿润、微生物复杂的环境中,其皮肤裸露、潮湿,为微生物提供了极好的生存环境。研究发现,在长期的进化过程中,两栖类动物靠其皮肤分泌大量的抗菌肽来抵御外来微生物的侵袭^[2-4]。

本研究以黑龙江省林区普遍分布的中国林蛙(*Rana Chensinensis*)为原料,分离提纯其皮肤中的抗菌肽并对其抑菌作用进行了初步探讨。

1 材料与方法

1.1 材料

中国林蛙(*Rana chensinensis*),黑龙江大通生物科技有限公司提供。

枯草杆菌(*Bacillus subtilis* ATCC 6633)、金黄色葡萄球菌(*Staphylococcus aureus* ATCC 6538)、铜绿假单胞菌(*Pseudomonas aeruginosa* ATCC 15442)和大肠杆菌(*Escherichia coli* ATCC 259221)均由黑龙江大学生命科学学院提供。

营养琼脂培养基、LB(Luria - Bertani)培养基。

葡聚糖凝胶 Sephadex G-75、Sephadex G-50、

Sephadex G-25(Pharmacia 公司产品),其他试剂均为国产分析纯。

日立 L8800 氨基酸分析仪。

1.2 方法

1.2.1 提取方法 取林蛙数只,断头,冰浴条件下迅速剥皮,剪碎,弃去血水,以蛙皮重量 6 倍体积的 80% 甲醇在 4℃ 浸提 24 h,过滤,收集滤液,再浸提 24 h,过滤,共浸提 3 次,合并 3 次所得滤液。将浸提后的蛙皮在 80% 甲醇中 8 000 r/min 匀浆 20 min,再 10 000 r/min 低温(4℃)离心 30 min,取上清液。离心后的蛙皮于玻璃匀浆器中再次细匀浆,低温(4℃) 10 000 r/min 离心 30 min,取上清液。合并各步所得提取液,浓缩,冷冻干燥。冻干粉用去离子水溶解,用 Bradford 法^[6]测定蛋白含量。

1.2.2 分离 Sephadex G-75 层析分离,1 cm ×60 cm 层析柱,以最佳提取工艺制得的冻干粉,用 2 ml 去离子水溶解后上柱,0.5% 甲醇洗脱,流速为 0.2 ml/min,每 10 min 收集 1 管,在波长 280 nm 处测各管紫外吸光值,收集各洗脱峰。冷冻干燥后,以枯草杆菌为指示菌采用杯碟法^[7]进行抑菌试验。出现抑菌圈的洗脱峰含有具抑菌作用的抗菌肽。

为进一步纯化,将装有 Sephadex G-50 和 Sephadex G-25 的两根层析柱(均为 1 cm ×60 cm)连接起来,将上述具有抑菌作用的冻干粉用 2ml 去离子水溶解后上柱。0.5% 甲醇洗脱,流速为 0.1 ml/min,每 10 min 收集 1 管,在波长 280 nm 处测各管紫外吸光值,收集各洗脱峰,冷冻干燥后以枯草杆菌为指示菌采用杯碟法进行抑菌试验。有抑菌作用的

峰含有抗菌肽,该洗脱峰冻干粉即为制备的中国林蛙蛙皮抗菌肽。

1.2.3 抗菌活性的研究 采用杯碟法^[7]研究抗菌活性,以枯草杆菌、铜绿假单胞菌、大肠杆菌、金黄色葡萄球菌为指示菌进行抑菌试验。枯草杆菌、铜绿假单胞菌、金黄色葡萄球菌的培养基为营养琼脂培养基,大肠杆菌的培养基为 LB (Luria-Bertani) 培养基,分别注入加热融化的 20% 琼脂溶液 20 ml 于平皿中作为底层,使其在皿底内均匀摊布。凝固后,在平皿中等距离均匀放入已消毒的牛津杯 4 个。分别另取培养基 30 ml 加热融化后,加入 4 ml 菌悬液,摇匀,使其在底层上均匀摊布,为菌层。取出牛津杯。第一个牛津杯孔中加入 0.5% 甲醇 110 μl,其余牛津杯孔中采用二倍稀释法加入试样液,37℃ 培养 24 h,观察抑菌圈大小。抑菌圈达到 10 mm 的试样浓度为最低抑菌浓度 (minimal inhibitory concentration, MIC)。

1.2.4 氨基酸组成分析 采用日立 L8800 氨基酸分析仪测定。

2 结果

2.1 提取工艺的确定 在单因素实验的基础上,对 4 个主要影响因素:甲醇的浓度 X_1 ; 甲醇的用量(蛙皮重量的体积倍数) X_2 ; 浸提时间(h) X_3 ; 浸提次数 X_4 , 利用 $L_9(3^4)$ 做正交实验^[5], 设计表如表 1 所示。

表 1 四因素三水平表

水平	X_1	X_2	X_3	X_4
1	75%	4	24	2
2	80%	5	27	3
3	85%	6	30	4

注: X_1 甲醇的浓度, X_2 甲醇的用量, X_3 浸提时间 h, X_4 浸提次数。

以蛋白含量(μg/ml)作为指标,对制得的试样进行测定。测定结果如表 2 所示。通过分析得出对蛋白含量影响最大的是甲醇浓度和提取次数,其次是提取时间,而甲醇用量影响最小。由表 2 确定最佳的提取工艺为:甲醇浓度 80%、甲醇体积为蛙皮重量的 6 倍、提取时间 24 h、提取次数 3 次。对已选定的最佳工艺条件进行重复试验,获得的粗提物的颜色为淡黄色,蛋白含量为 4 917 μg/ml。

2.2 抗菌肽的分离纯化 提取制得的粗提物经 Sephadex G-75 层析柱分离后,在波长 280 nm 处测定紫外吸光值,进行抑菌试验,抗菌肽在图中所示的活性峰中。收集此活性峰,冻干。

为使试样得到进一步纯化,将收集的冻干粉用去离子水融化后,再经 Sephadex G-50 和 Sephadex G-25 层析,获得层析图谱,如图 2 所示。通过抑菌

试验,得知抗菌肽在图中所示的活性峰中,收集此活性峰,冻干,得到中国林蛙蛙皮抗菌肽。

表 2 $L_9(3^4)$ 正交设计试验结果

实验号	X_1	X_2	X_3	X_4	Y
1	1	1	1	1	3317
2	1	2	2	2	3189
3	1	3	3	3	2607
4	2	1	2	3	3403
5	2	2	3	1	4364
6	2	3	1	2	4904
7	3	1	3	2	3801
8	3	2	1	3	3440
9	3	3	2	1	3239
K_1	9112	10520	11661	10920	
K_2	12672	10994	9831	11894	
K_3	10480	10750	10771	9450	
k_1	3037	3507	3887	3640	
k_2	4224	3665	3278	3965	
k_3	3493	3683	3590	3150	
极差 R	1187	177	609	815	
优水平	$X_{(2)}$	$X_{(3)}$	$X_{(1)}$	$X_{(2)}$	

注: X_1 甲醇的浓度, X_2 甲醇的用量, X_3 浸提时间 h, X_4 浸提次数。
优水平括号内数字为选择水平。

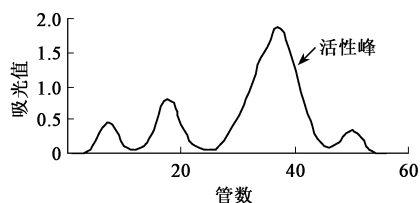


图 1 Sephadex G-75 凝胶过滤图

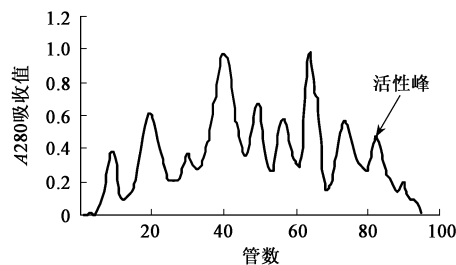
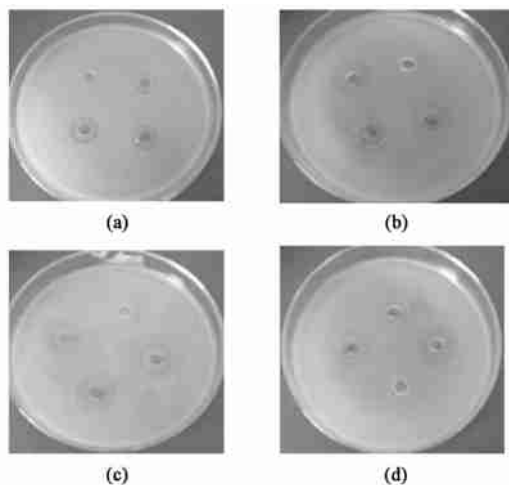


图 2 Sephadex G-50 和 Sephadex-25 凝胶过滤图

2.3 林蛙抗菌肽抗菌活性的研究 对分离得到的中国林蛙蛙皮抗菌肽进行抑菌试验,结果如图 3 所示。可见中国林蛙蛙皮抗菌肽对革兰阳性菌(G^+): 枯草杆菌、金黄色葡萄球菌,革兰阴性菌(G^-)的大肠杆菌、铜绿假单胞菌都有抑菌活性。最低抑菌浓度(MIC)见表 3。



(a) *Escherichia coli*, (b) *Pseudomonas aeruginosa*,
(c) *Bacillus subtilis*, (d) *Staphylococcus aureus*

图 3 抑菌试验

表 3 抗菌肽的最低抑菌浓度 (MIC)

菌名	MIC (µg/ml)
<i>Bacillus subtilis</i>	73.25
<i>Staphylococcus aureus</i>	51.75
<i>Escherichia coli</i>	51.75
<i>Pseudomonas aeruginosa</i>	51.75

2.4 氨基酸组成分析 将分离纯化的抗菌肽酸水解后进行氨基酸组成分析,利用氨基酸自动分析仪进行测定,结果见表 4。

表 4 中国林蛙蛙皮抗菌肽氨基酸组成分析

氨基酸	含量 (%)
Asp (天门冬氨酸)	8.0
Thr (苏氨酸)	3.9
Ser (丝氨酸)	4.5
Gu (谷氨酸)	5.9
Gly (甘氨酸)	15.4
Ala (丙氨酸)	8.7
Cys (半胱氨酸)	-
Val (缬氨酸)	4.6
Met (蛋氨酸)	2.0
Ile (异亮氨酸)	3.9
Leu (亮氨酸)	5.7
Tyr (酪氨酸)	0.8
Phe (苯丙氨酸)	2.5
Lys (赖氨酸)	7.1
His (组氨酸)	9.1
Trp (色氨酸)	1.3
Arg (精氨酸)	5.9
Pro (脯氨酸)	10.7
Total (氨基酸总量)	100.0

注: - 为未检出。

从表 4 中可以看出,在中国林蛙蛙皮抗菌肽氨基酸组成中,碱性氨基酸占氨基酸总量的 22.1%,酸性氨基酸占氨基酸总量的 13.9%,为碱性多肽。

3 讨论

3.1 提取多肽的方法主要有有机溶剂提取法、水提法和有机酸浸提法。研究表明^[8],两栖类动物皮肤活性多肽多为碱性多肽。为了保持其生物活性,避免多肽遇酸变性,本试验采用有机溶剂提取法。我们对分离得到的中国林蛙蛙皮抗菌肽进行氨基酸组成分析,表明其为碱性多肽,这与研究资料相符。

3.2 由于粗提物是盐类、分子量大小不等的蛋白质及其它小分子的混合物,通过 Sephadex G-75、Sephadex G-50 和 Sephadex G-25 柱层析,将各组分分开,可以得到具有抑菌效果的中国林蛙蛙皮抗菌肽。由于酪氨酸、苯丙氨酸和色氨酸具有紫外吸收特性,在 280 nm 处有最大吸收值,大多数蛋白质都具有这些氨基酸,所以蛋白质在 280 nm 处也有特征吸收,故而在凝胶过滤中我们选择在 280 nm 处测定紫外吸收值。

3.3 抑菌试验结果表明,中国林蛙抗菌肽对革兰阳性细菌、革兰阴性细菌均有抑制作用。Clarke 等人^[9]对两栖类动物的皮肤多肽进行了大量研究,结果表明:两栖类动物的皮肤活性肽具有两亲的 α -螺旋结构,一端为亲水端,一端为疏水端,并借助其 N-端与 C-端间连接结构的柔性,使抗菌肽分子的 C-端即疏水端插入质膜中,在质膜上形成跨膜离子通道,使微生物不能形成跨膜电势差,从而造成氧化磷酸化去偶联,并使细胞内内容物质外泄,最终导致细胞死亡。

3.4 抗菌肽具有广谱高效的抗菌活性,同时对某些真菌也有强大杀伤力^[10]。不仅如此,目前已有实验表明,一些抗菌肽对许多癌细胞株也表现出很强的杀伤力,但对正常细胞无损伤^[11,12]。可见,抗菌肽无论是作为一种新型食品防腐剂,还是一种新型抗生素和抗癌制剂,均具有巨大的研究开发价值。

参考文献

[1] HOFFMANN J A, KAFATOS F C, JANEWAY C A, et al. Phylogenetic perspectives in innate immunity[J]. Science, 1999, 284: 1313-1318.

[2] SIMMACO M, MIGNOGNA G, BARRA D. Antimicrobial peptides from amphibian skin: What do they tell us?[J]. Biopolymers, 1998, 47(6): 435-450.

[3] HANCOCK R E W, CHAPPLE D S. Peptide antibiotics [J]. Antimicrobial Agents and Chemotherapy. 1999, 43(6): 1317-1323.

[4] ZASLOFF M. Magainins, a class of antimicrobial peptides from *Xenopus* skin: isolation, characterization of two active forms, and

论著

中国食源性鼠伤寒沙门菌株耐药谱及 PFGE 分型研究

周正 刘秀梅

(中国疾病预防控制中心营养与食品安全所,北京 100050)

摘要:目的 了解掌握中国食品中鼠伤寒沙门菌的耐药状况,并对 2002 - 2005 年国家食源性疾病监测网分离的 23 株鼠伤寒沙门菌进行耐药性监测及 PFGE 分型研究。方法 利用血清学方法对 2002 - 2005 年食源性疾病监测网分离的沙门菌进行分型,并运用 CLSI(Clinical and Laboratory Standards Institute) 推荐的纸片法对鼠伤寒沙门菌株进行耐药性检测,采用脉冲场凝胶电泳法(PFGE)进行 PFGE 分型。结果 发现 15 株多重耐药鼠伤寒沙门菌,其中耐 4~5 种抗生素的 6 株(40%),耐 6~9 种抗生素的 5 株(33.3%),耐 10 种抗生素的 4 株(26.7%);可分为 16 个 PFGE 型,其中 5 个 PFGE 型的菌株数超过 1 株。结论 我国食源性鼠伤寒沙门菌分离株的多重耐药性严重,PFGE 分型方法对鼠伤寒沙门菌的分型能力较好,同一 PFGE 型菌株的耐药谱非常接近。

关键词:沙门菌;鼠伤寒;抗药性;微生物;电泳;凝胶;脉冲场

**Antimicrobial Resistance Patterning and Molecular Typing for Isolates of
Foodborne Salmonella typhimurium in China**

ZHOU Zheng, LIU Xiu-mei

(National Institute for Nutrition and Food Safety, Chinese CDC, Beijing 100050, China)

Abstract: Objective To investigate the antimicrobial resistance of *S. typhimurium* isolates from food in China, the twenty-three strains of *S. typhimurium* isolated from 2002 to 2005 within the areas of Chinese National Foodborne Diseases Surveillance Network were tested for the antimicrobial resistance and molecular types. **Methods** All the strains were detected the antimicrobial resistance by the disk diffusion method and molecular typed by PFGE. **Results** Fifteen out of 23 strains were multiple antimicrobial resistant. Six strains (40%) were resisted to four to five kinds of antibiotics, five strains (33.3%) to six to nine kinds, four strains (26.7%) to ten. All the tested strains were typed into sixteen genotype, with the five genotypes have more than one strains. **Conclusion** The multiple microbial resistance of foodborne *S. typhimurium* strains has showing the prevalent problem. PFGE is one of the good typing methods for *S. typhimurium* isolates. It is also indicated that the results of the antimicrobial resistance patterns are quite closed to the PFGE typing in this study.

Key word: Salmonella typhimurium; Drug Resistance, Microbial; Electrophoresis, Gel, Pulsed-Field

- partial cDNA sequence of precursor [J]. Pro Natl Acad Sci USA, 1987, 84: 5449-5452.
- [5] 金万浩. 食物物性学[M]. 北京:中国科学技术出版社,1991.
- [6] 汪家政,范明. 蛋白质技术手册[M]. 北京:科学出版社,2001.
- [7] 徐叔云. 药理实验方法学[M]. 北京:人民卫生出版社,1985.
- [8] CHIA B C, CARVER J A, MULHERN T D, et al Maculatin an antimicrobial peptides from the Australian tree frog, *Litoria genimaculata* solution structure and biological activity [J]. European Journal of Biochemistry, 2000, 267: 1894-1908.
- [9] CLARKE B T. The natural history of an amphibian skin secretions, their normal function and potential medical applications[J]. Biol Rew, 1997, 72 (3): 365-379.
- [10] SHERMAN R A, HALL M J, THOMAS S. Medicinal maggots: an ancient remedy for some contemporary afflictions [J]. Annu Rev Entomol, 2000, 45: 55-81.
- [11] BRAHMACHARY M, KRISHNAN S P, KOH J L Y, et al. ANTIMIC: a database of anti-microbial sequences[J]. Nucleic Acids Res, 2004, 32(1): D586-D589.
- [12] Prates M V, SFORCA M L, REGIS W C. The NMR-derived solution structure of a new cationic antimicrobial peptide from the skin secretion of the anuran *hyla punctata*[J]. J Biol Chem, 2004, 279 (13): 13018-13022.

[收稿日期:2006-10-29]

中图分类号:R15;TS202.3;S966.35 文献标识码:A 文章编号:1004-8456(2007)03-0217-05

基金项目:公共卫生突发应急反应机制运行专项(食源性疾病监测)

作者简介:周正 男 博士生

通讯作者:刘秀梅 女 研究员